

Vibraciono-rotacioni spektari dvoatomskog mol.

Za razmatranje rotaciono-vibracionih spektrara treba znati energije molekula kog i istovremeno rotira i vibrira:

$$E(v, J) = \hbar\omega(v + \frac{1}{2}) - (v + \frac{1}{2})^2 \hbar\omega X_e + \dots \\ + hc B_v J(J+1) - hc D_v J^2(J+1)^2 + \dots$$

Ovdje treba napomenuti da u sledećem oscilovanju menjaju se momenti inercije I^2 , tako da se mijenja srednja vrednost R^2 , tako da se javlja zavisnost B i D od v što učinjava interes. Ta zavisnost je [Белнији суп. 172]

$$B_v = B - \alpha(v + \frac{1}{2}) + \beta(v + \frac{1}{2})^2 + \dots$$

$$D_v = D + \gamma(v + \frac{1}{2}) + \dots$$

α, β, γ - velice konstante.

Ukupna energija je $E = E_e + E_{rot} + E_{vib}$, u slučaju rotaciono-vibracionih spektrara elektronska energija mol. se ne mijenja. Znamo za selektanu pravilo $\Delta J = \pm 1$ i $\Delta v = \pm 1$, tako da sada imamo sljedeće:

① $\rightarrow \Delta v = +1$ i $\Delta J = -1$ dobijamo tzv. P-granu spektra sa tal. brojem

$$\tilde{\nu}^P(v, J) = \frac{E(v+1, J-1) - E(v, J)}{hc} = \\ = \tilde{\nu} - 2(v+1) \tilde{\nu} X_e + \dots - (B_{v+1} + B_v)J + (B_{v+1} - B_v)J^2 + \dots$$

② Prelazi sa $\Delta J = +1$ daju R-granu vibracionog spektra

$$\tilde{\nu}^R(v, J) = \frac{E(v+1, J+1) - E(v, J)}{hc} = \tilde{\nu} - 2(v+1) \tilde{\nu} X_e + \dots \\ + 2B_{v+1} + (3B_{v+1} - B_v)J + (B_{v+1} - B_v)J^2 + \dots$$

Ako uzmemo $B_{v+1} \approx B_v \approx B$ dobijamo

$$\tilde{\nu}^P(v, J) = \tilde{\nu} - 2BJ \quad J = 1, 2, \dots$$

$$\tilde{\nu}^R(v, J) = \tilde{\nu} + 2B(J+1) \quad J = 0, 1, 2, \dots$$

g. predavač
M. Š. 2011.

Podsećamo: Ako se prelaz vrši između dva Σ stava onda selektivno pravilo je $\Delta J = \pm 1$.

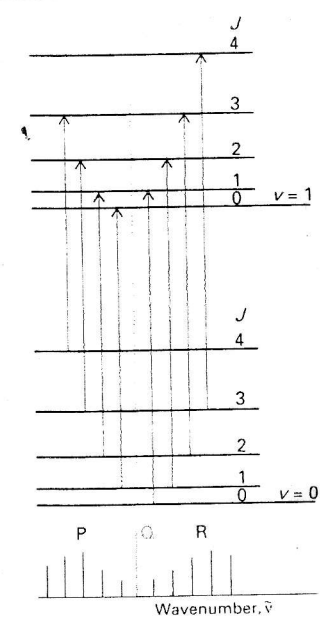
Sa druge strane ako je $\Delta \neq 0$ ($\Leftrightarrow \Delta$ -apsolutna vrednost projekcije osib. momenta na internuc. osi) onda je selektivno pravilo $\Delta J = 0, \pm 1$ i $\Delta \Lambda = 0, \pm 1$.

Dalje, u odnosu na spin-orbitale interacije imamo $\Delta S = 0$.

③ Grana koja je dozvoljena kod dvoataomske molekula tzv. Q-grana samo ako $\Delta \neq 0$ za $\boxed{\Delta J = 0}$

$$\begin{aligned} \tilde{\nu}^Q(v, J) &= \frac{E(v+1, J) - E(v, J)}{\hbar c} = \\ &= \tilde{\nu} - 2(v+1)\tilde{\nu} X_e + \dots + (B_{v+1} - B_v)J + (B_{v+1} - B_v)J^2 + \end{aligned}$$

$$\tilde{\nu}^Q(v, J) \approx \tilde{\nu}, \quad J = 0, 1, 2, \dots$$



Može i unificirana relacija da se napiše

$$\nu = \nu_0 + 2B\mu$$

gde je $\mu = 1, 2, 3, \dots$ (R-grana)

$\mu = -1, -2, -3, \dots$ (P-grana).

Vrednost $\mu = 0$ odgovara zabranjenom prelazu $\Delta J = 0$ i to je band gap.

Fig. 10.17 The formation of P- and R-branches in a linear vibrating rotor and the location of the (usually invisible) Q-branch.

$$E(v, J) = h\nu(v + \frac{1}{2}) - h\nu(v + \frac{1}{2})^2 x_e + \dots$$

$$+ hc B_v J(J+1) - hc D_v J^2 (J+1)^2 + \dots$$

(P) granu

$$hc \left(\frac{1}{\lambda}\right)^2 = E(v+1, J-1) - E(v, J)$$

$$= h\nu(v + 1 + \frac{1}{2}) - h\nu(v + 1 + \frac{1}{2})^2 x_e + hc B_{v+1} (J-1) J - \dots$$

$$- h\nu(v + \frac{1}{2}) + h\nu(v + \frac{1}{2})^2 x_e - hc B_v J(J+1) + \dots$$

$$= h\nu - h\nu \left[(v + \frac{1}{2} + 1)^2 - (v + \frac{1}{2})^2 \right] x_e + hc \underbrace{\frac{B_{v+1} J^2 - B_v J^2}{J^2}}_{- hc B_v J} \frac{hc}{hc B_v J}$$

$$= h\nu - h\nu [2(v + \frac{1}{2}) + 1] x_e - (B_{v+1} + B_v) J \frac{hc}{hc B_v J} + hc (B_{v+1} - B_v) J^2 + \dots$$

$$\left(\frac{1}{\lambda}\right)^2 = \tilde{\nu}^P(v, J) = \frac{h \frac{c}{\lambda}}{hc} - \frac{h \frac{c}{\lambda}}{hc} 2(v+1)x_e - (B_{v+1} + B_v) J + (B_{v+1} - B_v) J^2$$

$$\tilde{\nu}^P(v, J) = \tilde{\nu} - 2(v+1)\tilde{\nu}x_e - (B_{v+1} + B_v) J + (B_{v+1} - B_v) J^2$$

$$B_{v+1} \approx B_v = B$$

$$\boxed{\tilde{\nu}^P(v, J) = \tilde{\nu} - 2B J}, \quad J = 1, 2, \dots$$

- (A) Za istovremeno rotaciono-vibracione prelaze vaze iste
 (B) selekcija pravila kao i za izolovane

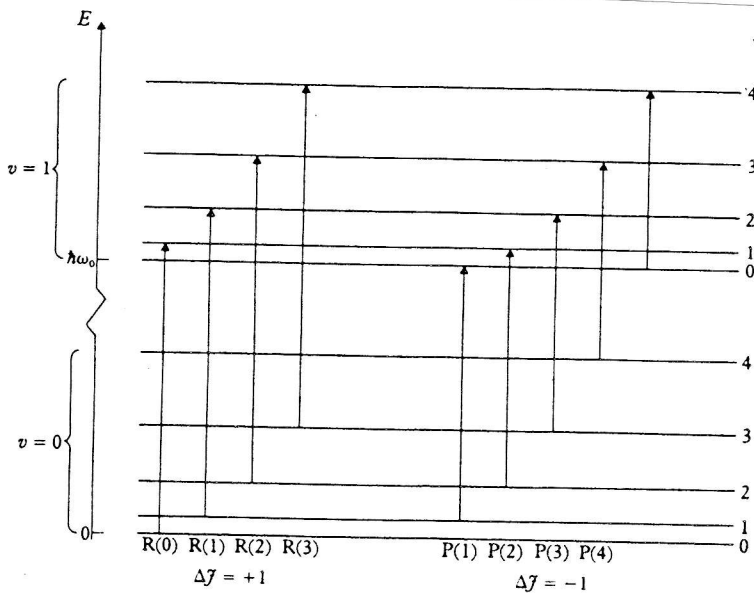
$$\Delta v = +1 \quad \Delta J = +1 \dots (i)$$

$$\Delta v = +1 \quad \Delta J = -1 \dots (ii)$$

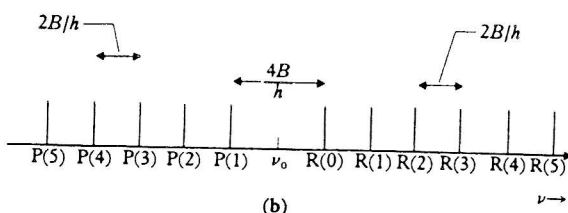
$$\Delta v = -1 \quad \Delta J = +1 \dots (iii)$$

$$\Delta v = -1 \quad \Delta J = -1 \dots (iv)$$

Pošto je x_e obično jedan ili dva reda veličine veće od B_v
 slučajevi (i) i (ii) odgovaraju apsorpciji zračenja, dok
 (iii) i (iv) odgovaraju emisiji.

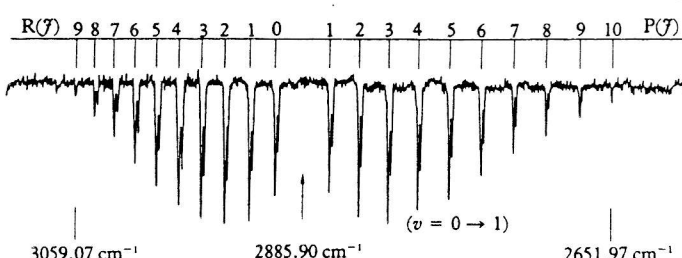


(a)



(b)

- 10.3 (a) Energy level diagram of the lowest vibrational-rotational levels in a diatomic molecule showing the absorptive transitions from the band with $v = 0$ to the band with $v = 1$. The band spectrum contains two branches: the R branch with $\Delta J = +1$ and the P branch with $\Delta J = -1$. The lines in each branch are labelled by the J value of the lower level.
 (b) A spectrogram showing the lines corresponding to the transitions shown in (a). It is assumed that the rotational constants of the $v = 0$ and $v = 1$ are the same so that the lines are equally spaced in frequency, except for a gap corresponding to the vibrational frequency ν_0 .



- 10.4 Absorption spectrum of HCl. The double peaks exist because naturally occurring chlorine is a mixture of the two isotopes ^{35}Cl (75.5 per cent) and ^{37}Cl (24.5 per cent). The position of the central gap in the spectrum determines $\tilde{\nu}_0 = 2885.9 \text{ cm}^{-1}$, ($\hbar\omega_0 = 0.369 \text{ eV}$) and the spacing determines the rotational constant $\tilde{B} = B/\hbar c = 10.59 \text{ cm}^{-1}$ ($B = 1.31 \times 10^{-3} \text{ eV}$). (By courtesy of R. Colin.)

Table 10.1 Wave numbers of the central lines in the rotational-vibrational band ($v = 0 \leftrightarrow 1$) of HCl

	$\tilde{\nu} (\text{cm}^{-1})$	$A (\text{cm}^{-1})$
R(5)	2997.78	
R(4)	2980.90	16.88
R(3)	2963.24	17.66
R(2)	2944.89	18.55
R(1)	2925.78	19.11
R(0)	2906.25	19.53
$\tilde{\nu}_0$	missing at 2885.90	—
P(1)	2865.09	—
P(2)	2843.56	21.53
P(3)	2821.49	22.07
P(4)	2798.78	22.71
P(5)	2775.79	22.99
P(6)	2752.03	23.76

A = Wave number difference between neighbouring lines.

Ako utvremo da ipak $B_{\gamma 1} \neq B_{\gamma 1''}$ onda imamo:

$$V^R = V_0 + 2B_{\gamma 1} + (3B_{\gamma 1} - B_{\gamma 1''})J + (B_{\gamma 1} - B_{\gamma 1''})J^2$$

$J = 0, 1, 2, \dots$

$$V^P = V_0 - (B_{\gamma 1} + B_{\gamma 1''})J + (B_{\gamma 1} - B_{\gamma 1''})J^2$$

$J = 1, 2, 3, \dots$

Ili jednostavni zapis

$$V = V_0 + (B_{\gamma 1} + B_{\gamma 1''})m + (B_{\gamma 1} - B_{\gamma 1''})m^2$$

$$m = \begin{cases} 1, 2, 3, \dots & R\text{-grana} \\ -1, -2, -3, \dots & P\text{-grana} \end{cases}$$

Novina je što se javlja kvadratna zavisnost od m ,

and results in the appearance of a VERTEX (or band head). KAH T MOSTOGI

associated with value of m such that $\frac{dV}{dm} = 0$.

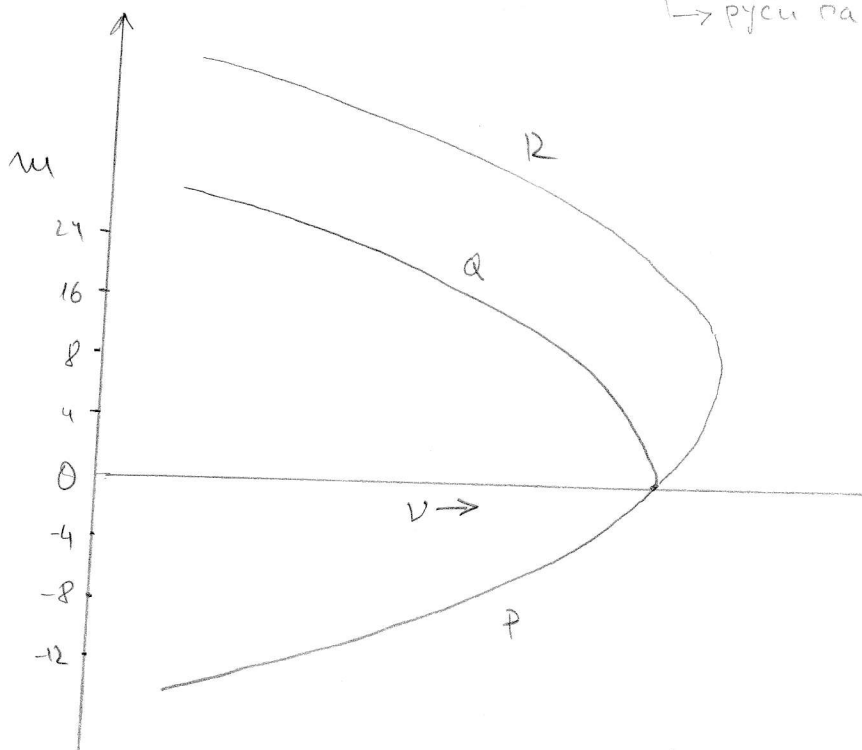
Ta vrednost je

$$m_{\max} = \frac{B_{\gamma 1} + B_{\gamma 1''}}{2(B_{\gamma 1} - B_{\gamma 1''})}$$

Weissbluth p. 619

Ako je $B_{\gamma 1} - B_{\gamma 1''}$ negativno, što je generalno slučaj, vertex se dečava za pozitivne vrednosti m -a. To znači da R-grana prolazi kroz maximum: Fortrat parabola

[fortra pa'rab-ə-fə]
→ рус на читай Фортра



Kada je $B_{\gamma 1} - B_{\gamma 2} > 0$ situacija je okruglita

i kant obrazuje se da je dlinnlobatnaya granična polosu (9.195)

Beznič. p. 183.

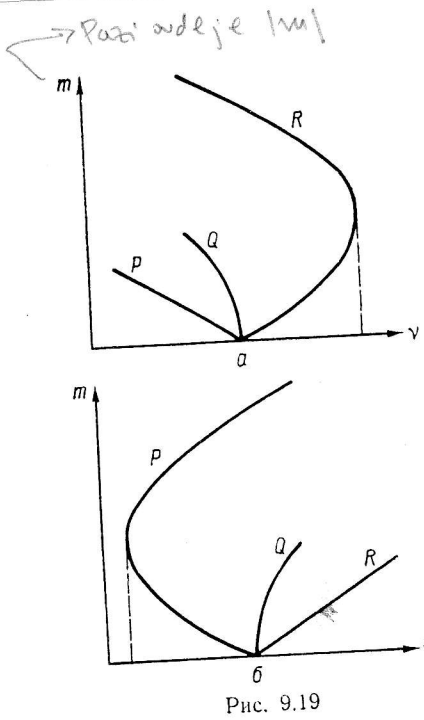


Рис. 9.19

Vidi kopijirku i s. 136.

Franck-Condon-ov princip

Potencijalna energija dvoatomskog molekula kao f-ja internuklearnog rastojanja za dva različita elektronska stanja (tipično za osnovnu i eksitovanu el. stanje) je data na slici.

FIG. 10-1 Potential-energy functions, vibrational energy levels, and vibrational probability functions ψ^2 for two typical electronic states of a diatomic molecule.

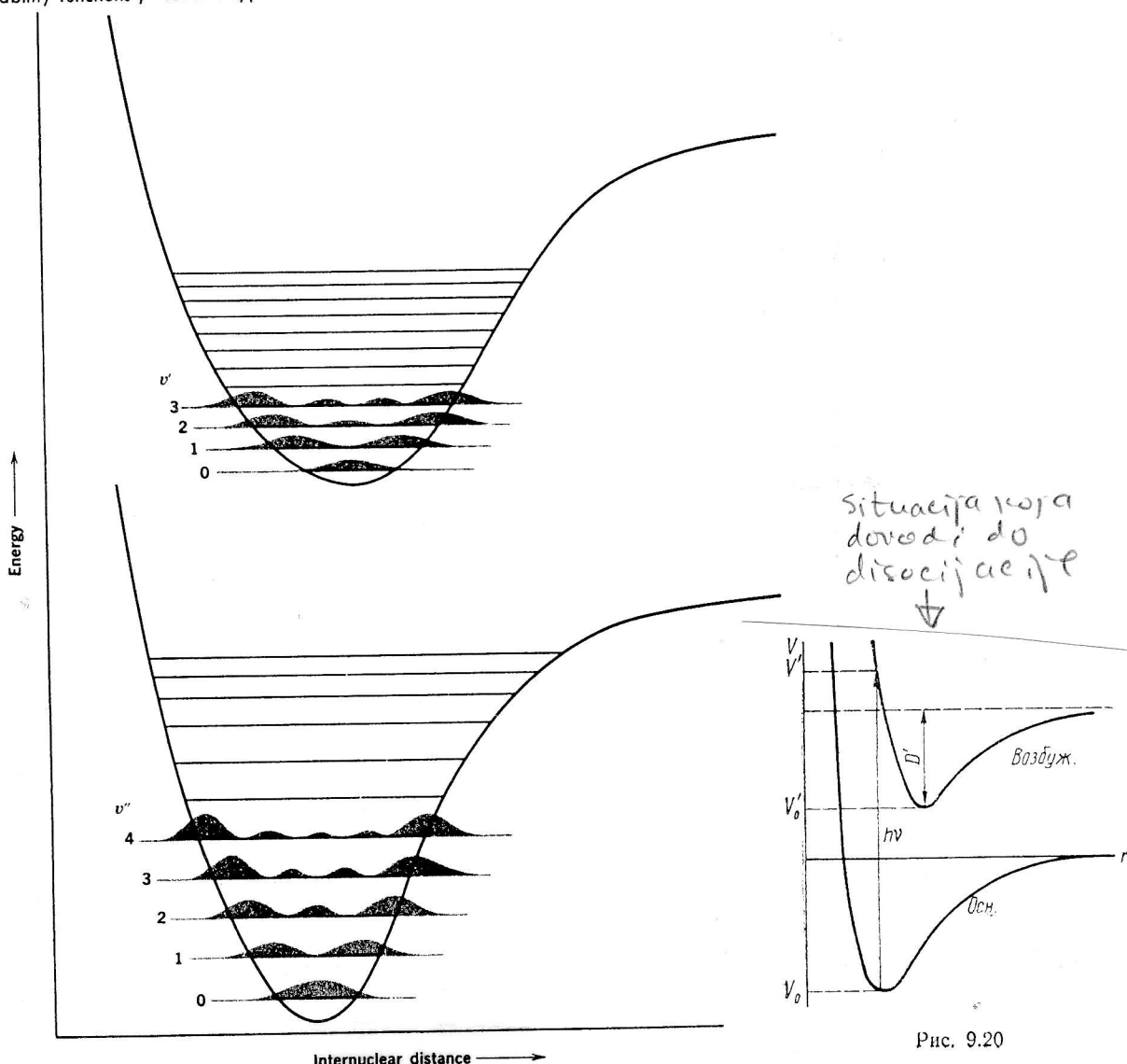
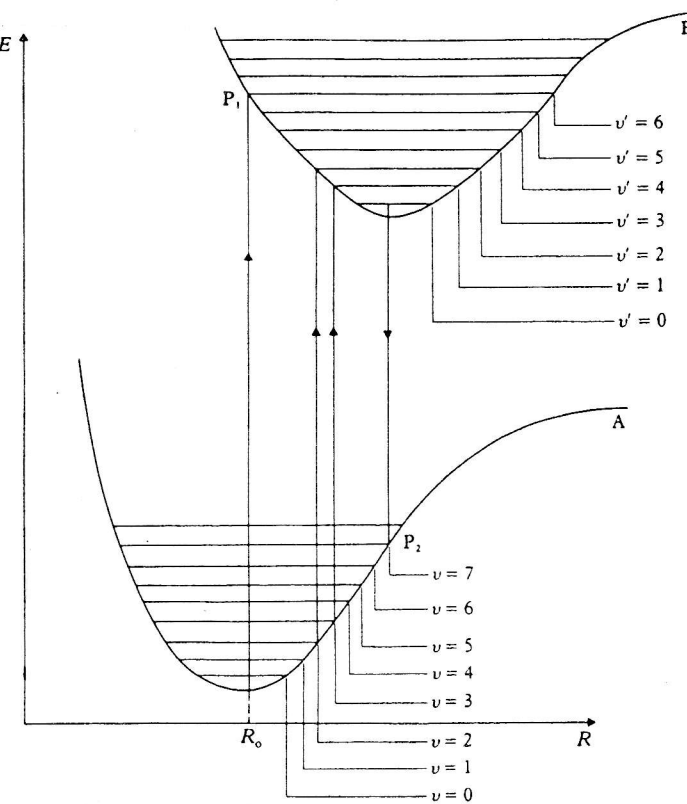


FIG. 9.20

Razmotrimo sada apsorpciju ili emisiju radijacije što menja molekul iz jednog stanja u drugo. Pitaju koga se nameće: koji prelazi se može očekivati između različitih vibracionih nivoa ($v'' = 0, 1, 2, \dots$) nizeg elektronskega stanja i različitih vib. stanja ($v' = 0, 1, 2, \dots$) goruge elektronskega stanja.

Tri faktora se moraju imati uvuđi da bi se odgovarilo na ovu pitanje:

- ① Neuna generalne restrikcije (ograničenja) na promenu σ za prelaz sa jednog na drugo elektronsko stanje. Taj rezultat je u suprotnosti sa pravilom $\Delta \sigma = \pm 1$ što funkcioniše u ekvivalentnoj elektronskoj stazi.
- ② Elektroni se kreću brže no jestva je mogućnost međusobni položaj. [Relativno vreme za elektronsko i nuklearno kretanje može da se poreodi npr. onako: e^- na Borovoj orbiti nucički krug za oko 10^{-15} s, dok tipično vreme za period oscilovanja kod molekula je oko 10^{-13} s]. Ova karakteristika dovodi do Franck-Coulon-Oweg principa: elektronski prelaz u molekulu se događa tako rapidno u poređenju sa oscilatornim kretanjem nukleusa tako da intermolekulno rastojanje može se smatrati fixisirano u toku prelaza. To znači da u dijagramu elektronski prelazi se moraju reprezentovati vertikalnim linijama koje spajaju inicijalno i finalno stanje na nekom fixisanom intermolekulnom rastojanju.
- ③ V-će nalaze se kod ose. kretanja 141° utrage da se utmu u obzir (primetane na slici 10.1). Elektronski prelaz se mora očekivati, u pogledu integrala $|M_{\text{elekt}}| = \int_{-\infty}^{+\infty} \psi_{\text{in}}^* \psi_{\text{ex}} \frac{d}{dx} e^{\frac{-x^2}{2}} dx$, da bude "najomiljeniji" ("najpočesniji") (to be most favored) ako se dogodi, dok molekul ima međumolekulno rastojanje takvo da prelaz povlači verovatnu stazu molekula [Burrow p. 233].



10.10 Electronic transitions illustrating the Franck-Condon principle.

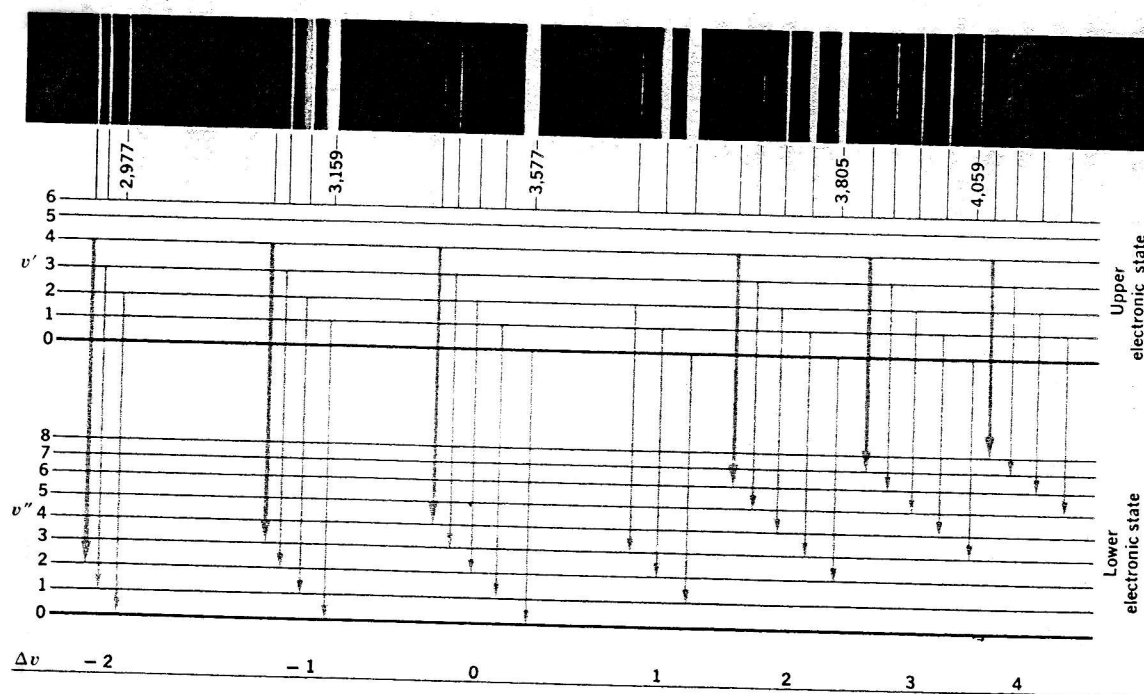
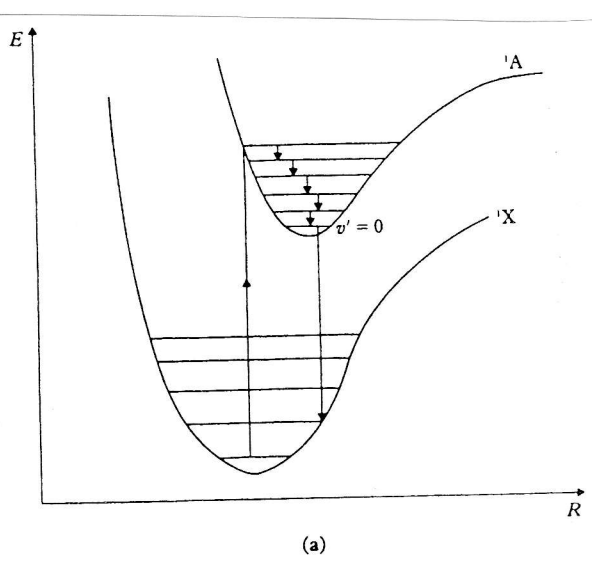


FIG. 10-4 Part of the emission spectrum of N_2 . The assignment of the components of the band to the vibrational levels of the two electronic states shown below the spectrum has been worked out with the aid of a treatment like that illustrated in Table 10-1. The heavy arrows are drawn to call attention to the series of transitions that occur from a given v'' level to various v' levels. (Courtesy of J. A. Marquisee, Case Institute of Technology, Cleveland, Ohio.)

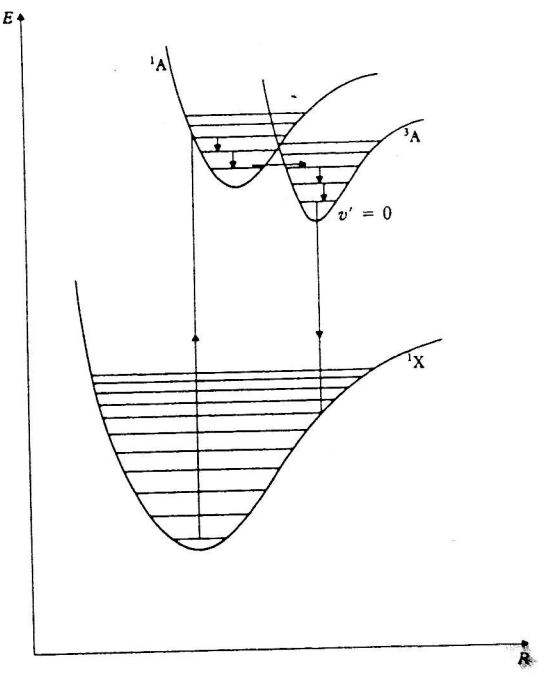
Fluorescencija i fosforescencija

V/23

Molekuli koji apsorbuju radijaciju u blizini ultra-violetovog i vidljivog delu mogu da re-emisiju radijacije na dužim talasnim dužinama. Ovoj fenomen je poznat kao fluorescence i je ilustrirana sličicom (a).



(a)



(b)

10.13 (a) Fluorescence. (b) Phosphorescence.

Prvo, apsorpcioni prelaz se dešava sa nižeg el. stajja na neki vibracioni nivo gorugeg el. stajja. Ti apsorpcioni prelazi su vodeni F.C. principom. Na primer na slici (a) prelaz je od najnižeg vibracionog nivoa osnovnog el. stajja (uzeteno da je uelo singletno stajje ${}^1\text{X}$) na eksitovanu vibracioni nivo gorugeg el. stajja. Molekul može onda da gubi vibracionu energiju kroz sudare sa drugim molekulima (thermal decay) i dolazeći do najnižeg vibracionog nivoa $v'=0$ eksitovanog el. nivoa ${}^1\text{A}$.

Ovaj proces je često more rapid od spontane emisije radijacije, tako da kada molekul

konačno re-emisiju radijaciju, to je sa vibracionog nivoa $v'=0$. Kao rezultat, emisivna radijacija je je manje frekvencije nego incidentna.

Fluorescencija je fenomen koji obuhvata spontanu emisiju između dva el. stanja istog multipliciteta.

Srođan proces je fosforecencija, koja obuhvata spontanu emisiju od eksitiranog el. stanja na uže el. stanje različitog multipliciteta.

Npr. prvo imamo apsorpciji prelaz sa singletne osnovne stanje 1X na singletno eksitirano stanje 1A (kao u fluorescenciju gledaju).

Termalna degradacija vibracione energije se onda dešava kroz sudare sa drugim molekulama.

Potpostavimo sada da je stanje 1A kuplovano (da se podudara) sa tripletnim 3A sличne energije (kao na sl. ⑥). molekul može onda bez radijacije da pređe u 3A (undergo an intersystem crossing and transferred by a radiationless transition into 3A).

Nakon ovoga kroz thermal decay dostiće rezultati vibracioni nivo 3A stanja. To tripletno stanje može da se raspodaje na osnovno (singletno) stanje by a radiative transition koje nazivamo fosforecencijom.

Remark: iako električni dipoli prelaz između $^3A \rightarrow ^1X$ je spin-forbidden zbog selekcije pravila $\Delta S=0$, radiativni prelaz $^3A \rightarrow ^1X$ may not be absolutely forbidden, i može da se desi slowly through spin-orbitalne interakcije. Kao rezultat, fosforecentna emisija se može desiti za nekoliko sekundi ili čak duže nakon ^{izagubljene} incidentne radijacije.